

基于数据驱动的燃煤锅炉 NO_x 排放量动态修正预测模型

唐振浩¹, 朱得宇¹, 李扬²

(1. 东北电力大学自动化工程学院, 吉林省 吉林市 132012; 2. 东北电力大学电气工程学院, 吉林省 吉林市 132012)

Data Driven based Dynamic Correction Prediction Model for NO_x Emission of Coal Fired Boiler

Tang Zhenhao¹, Zhu Deyu¹, Li Yang²

(1. School of Automation Engineering, Northeast Electric Power University, Jilin Province, China; 2. School of Electrical Engineering, Northeast Electric Power University, Jilin 132012, Jilin Province, China)

ABSTRACT: The real-time prediction of NO_x emissions is of great significance for pollutant emission control and unit operation of coal-fired power plants. Aiming at dealing with the large time delay and strong nonlinear characteristics of the combustion process, a dynamic correction prediction model considering the time delay is proposed. First, the maximum information coefficient (MIC) is used to calculate the delay time between related parameters and NO_x emissions, and the modeling data set is reconstructed; then, an adaptive feature selection algorithm based on Lasso and ReliefF is constructed to filter out the high correlation with NO_x emissions. Parameters; Finally, an extreme learning machine (ELM) model combined with error correction was established to achieve the purpose of dynamically predicting the concentration of nitrogen oxides. Experimental results based on actual data show that the same variable has different delay times under load conditions such as rising, falling, and steady; and there are differences in model characteristic variables under different load conditions; dynamic error correction strategies effectively improve modeling accuracy; proposed The prediction error of the algorithm under different working conditions is less than 2%, which can accurately predict the NO_x concentration at the combustion outlet, and provide guidance for NO_x emission monitoring and combustion process optimization.

KEY WORDS: NO_x emission; feature selection; extreme learning machine; error correction; data driven

基金项目: 国家自然科学基金(61503072), 吉林省科技发展计划项目(20190201095JC, 20200401085GX)。

The National Natural Science Foundation of China (Grant No.: 61503072) and Jilin Science and Technology Project (Grant No.: 20190201095JC, 20200401085GX)

摘要: NO_x 排放量实时预测对于燃煤电厂污染物排放控制和机组运行具有重要意义。为了克服燃烧过程大时延及强非线性特性,提出了一种考虑时间延迟的动态修正预测模型。首先,利用最大信息系数(MIC)计算相关参数与NO_x排放量的延迟时间,重构建模数据集;然后,构建基于Lasso和ReliefF的自适应特征选择算法,筛选与NO_x排放量相关程度高的参数;最后,建立了结合误差校正的极限学习机(ELM)模型,达到动态预测氮氧化物浓度的目的。基于实际数据的实验结果表明:相同变量在升、降、平稳等负荷工况下的延迟时间不同;且不同负荷工况下模型特征变量存在差异;动态误差校正策略有效提升建模精度;所提出算法在不同工况下的预测误差均小于2%,能够准确预测燃烧出口的NO_x浓度,为NO_x排放监测和燃烧过程优化提供指导。

关键词: NO_x 排放; 特征选择; 极限学习机; 误差修正; 数据驱动

0 引言

根据国家能源局统计,2020年全国火力发电量为52798.7亿KW·h,占全国总发电量的71.2%。虽然我国新能源发展迅速,但火力发电仍是我国现阶段电力来源的主要形式^[1]。然而,燃煤电厂产生的NO_x会污染大气环境,导致酸雨,并严重影响人体健康^[2]。因此,国家环保部门对火力发电厂的NO_x排放要求日益严格^[3-4],目前执行的火电厂NO_x排放国家标准在50mg/m³以下^[5]。NO_x排放量检测主要依靠连续排放监测系统(continuous emission monitoring system, CEMS)^[6],但是,部分电厂使用煤质差,导致燃

烧排放烟气湿度大、灰尘多、腐蚀性强,从而 CEMS 工作环境恶劣,需定时清灰且易发生故障,同时,CEMS 不能对未来 NO_x 排放量进行预测。因此探究 NO_x 排放量软测量方法能够在不增加硬件成本的基础上提高检测稳定性,并对 NO_x 排放量未来变化趋势进行预测。

燃煤锅炉燃烧过程机理复杂^[7],NO_x 排放量受到机组负荷、配风方式等多种因素共同影响,难以通过传统的机理模型进行计算^[8]。随着大量生产数据的积累和数据驱动技术的发展,神经网络、深度学习等数据驱动算法在非线性的工业过程建模问题中取得了良好的应用效果^[9-11]。在燃煤锅炉 NO_x 排放量预测建模方面,TAN 等^[12]采用长短期记忆(long short-term memory, LSTM)模型来预测燃煤锅炉的 NO_x 排放量。周昊等^[13]应用核心向量机(core vector machine, CVM)通过 77 个运行参数建立了超超临界锅炉的 NO_x 排放特性模型。Tang 等^[14]基于深度置信网络(deep belief network, DBN)建立了 NO_x 排放量的预测模型。上述研究证明了数据驱动方法在 NO_x 排放量预测中的可行性。ELM 是 2004 年提出的新型神经网络算法^[15],具有结构简单,训练速度快等特点,因此,本研究采用 ELM 作为构建特征信息与 NO_x 排放量非线性关系模型的基础算法。

在机组实际运行过程中,由于 NO_x 检测滞后、锅炉燃煤传送滞后、燃烧反应消耗时间等因素,锅炉燃烧过程具有延迟特性。因此,计算各输入特征变量相对于 NO_x 排放量的延迟时间是实现 NO_x 浓度动态预测、提高预测准确度的关键。闫来清等^[16]通过 k-近邻互信息法计算各输入变量的时间延迟,实现对 NO_x 排放量的动态预测建模。赵征等^[17]利用互信息计算各输入变量的延迟时间,将含有延迟信息的输入变量与输出变量进行数据重构,实现对 NO_x 排放量的动态预测。最大信息系数(maximal information coefficient, MIC)适用于计算大数据下广泛的非线性关系,鲁棒性强且计算复杂度低。为深入挖掘输入变量延迟与 NO_x 排放量之间非线性关系,本研究采用 MIC 方法表征燃烧过程相关变量不同延迟时间数据与 NO_x 排放量数据之间的非线性相关性。并使用 MIC 计算不同工况下(升负荷、降负荷、负荷稳定)各相关参数相对于 NO_x 排放量的延迟时间,分别构建预测模型,提高模型精度。

机组运行的历史数据通常存在信息耦合以及变量规模大的问题。高维输入变量增加模型复杂度以及计算时间,导致模型的计算效率降低。因此,输入变量的选择也是 NO_x 排放量预测模型研究的重点。Wang 等^[18]通过互信息(mutual information, MI)特征选择的方法对输入参数进行相关性计算,得到模型的最佳输入参数。吕游等^[19]利用(partial least squares, PLS)对输入变量进行特征提取,降低输入维数,建立 NO_x 排放预测模型。但上述方法仅通过一种特征选择的方法来获取模型的输入,可能导致特征变量的少选或漏选,影响模型的预测精度。因此,本研究综合基于 Lasso 和 ReliefF 两种特征选择算法设计自适应特征选择方案,并结合机理分析的结果,为预测模型确定合理的输入特征集合。

为了进一步提升预测精度,在建模方案中引入误差修正策略。Yang 等^[20]针对 NO_x 排放量建立预测模型时,对预测误差进行建模预测,进一步缩小 NO_x 测量值和预测值之间的偏差。Ouyang 等^[21]根据初始风功率预测模型的误差建立误差修正模型,提升了风功率预测精度。因此,尝试将误差修正策略引入 NO_x 排放量建模预测中,进一步缩小初始预测模型的预测值和测量值之间的误差。

综上所述,本研究使用最大信息系数 MIC 计算模型的各输入变量相对输出变量的时间延迟,进行建模数据的重构,以消除燃烧过程中的各参数延迟对预测结果的影响;然后基于 Lasso 和 ReliefF 设计自适应的组合特征选择算法,为 NO_x 排放量筛选相关性更大的变量。最后使用极限学习机 ELM 建立初始 NO_x 排放量预测模型,对预测结果进行误差修正,得到燃煤锅炉 NO_x 动态修正预测模型。

1 锅炉燃烧过程简介

本研究对象为 1000MW 超超临界燃煤机组的 π 型锅炉。锅炉的炉膛尺寸为 32.084m×15.67m,通过八角反向切圆的燃烧器摆放方式使炉膛内部进行充分燃烧,其中每个燃烧器共设有 6 层一次风喷口、6 层二次风喷口及 2 层燃尽风喷口。锅炉剩余主要结构包括过热器、再热器、省煤器、空预器等。锅炉燃烧系统如图 1 所示,煤经给煤机运送至磨煤机,空预器将冷空气加热为热空气,热空气分为一次风和二次风,

一次风将煤粉吹入炉膛, 二次风补充煤粉继续燃烧所需要的空气。锅炉炉膛内部燃烧产生的烟气经炉膛至过热器, 后经省煤器出口流出。并在图 1 中标注了建模使用的关键锅炉变量。

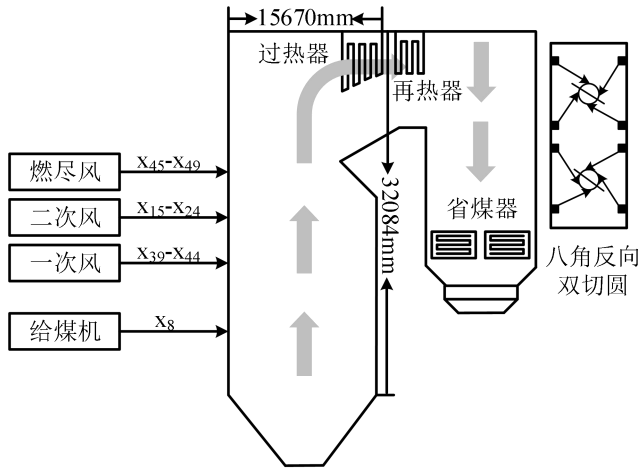


图 1 锅炉燃烧系统示意图

Fig. 1 The schematic diagram of the boiler combustion system

数据来自电厂的分散控制系统 (distributed control system, DCS) 中, 采样间隔为 5s。根据 NO_x 产生机理分析, 选择主蒸汽压力、主蒸汽温度、总风量、氧量、总煤量、一次风风量、二次风风量、给煤量、机组负荷、燃尽风、锅炉尾部烟道烟气氧量等 55 个变量作为与产生 NO_x 相关的变量。由于电厂无法实时在线获取燃烧中的煤质参数, 因此在建立 NO_x 预测模型时无法将煤质特性作为输入参数, 并且在建模数据的时间范围内, 采用的煤质参数保持恒定。

2 NO_x 排放预测建模

2.1 数据预处理

实验数据为电站 DCS 系统导出的历史运行数据。为了使模型适应现场运行工况的变化, 在建立预测模型时建模数据应尽可能包含更多机组负荷分布情况, 分别采用负荷上升、下降、平稳等三种机组负荷分布数据集进行建模。相关变量及变化范围如表 1 所示。

由于所采集数据中含有异常值, 影响实验的准确性, 采用拉依达准则进行异常值的筛选, 并使用异常值前 10 个采样点数据平均值对筛选出来的异常值进行替代。电站锅炉中各个运行参数的取值范围差距较大, 取值范围小的参数对 NO_x 排放量的影响容易被忽略, 影响模型精度。因此

对所有变量进行归一化处理, 将数据统一到 [0, 1] 区间内, 使变量处于同一量级, 计算方法如式(1)所示:

$$x' = \frac{x - x_{\min}}{x_{\max} - x_{\min}} \quad (1)$$

其中 x' 表示变量归一化后的数据, x 表示变量的原始测量值, x_{\min} 表示变量的最小值, x_{\max} 表示变量的最大值。

表 1 在运行条件下所研究锅炉的部分过程变量
Tab. 1 Part of process variables of the investigated boiler in the operation condition

变量	标签	单位	变量范围
主蒸汽压力	x1	MPa	[16.771-31.379]
主蒸汽温度	x2	°C	[571.708-605.354]
水煤比	x3	—	[6.617-8.941]
过热度	x4	°C	[34.053-77.287]
总风量	x5	t/h	[1798.56-3187.22]
氧量	x6	%	[2.596-5.647]
排烟温度	x7	°C	[130.071-140.147]
总煤量	x8	t/h	[158.303-322.039]
磨煤机出口风温(A-F)	x9-x14	°C	[21.923-86.578]
二次风风量(A层-F层)	x15-x24	t/h	[34.303-209.429]
机组负荷	x25	MW	[494.647-999.145]
炉膛压力	x26	kPa	[-0.341-0.142]
给煤机瞬时煤量(A-F)	x27-x32	t/h	[38.864-76.959]
磨煤机进口一次风温(A-F)	x33-x38	°C	[29.446-218.082]
磨煤机进口一次风量(A-F)	x39-x44	t/h	[98.142-164.633]
下层燃尽风流量(B-D)	x45-x47	t/h	[39.692-132.824]
上层燃尽风流量	x48-x49	t/h	[34.019-141.758]
一次再热器温度	x50	°C	[596.977-605.507]
二次再热器温度	x51	°C	[567.125-606.765]
锅炉尾部烟气氧量(1-4)	x52-x55	%	[2.288-6.096]

由于所采集数据中含有异常值, 影响实验的准确性, 采用拉依达准则进行异常值的筛选, 并使用异常值前 10 个采样点数据平均值对筛选出来的异常值进行替代。电站锅炉中各个运行参数的取值范围差距较大, 取值范围小的参数对 NO_x 排放量的影响容易被忽略, 影响模型精度。因此对所有变量进行归一化处理, 使变量处于同一量级, 计算方法如式(1)所示:

$$x' = \frac{x - x_{\min}}{x_{\max} - x_{\min}} \quad (1)$$

其中 x' 表示变量归一化后的数据, x 表示变量的原始测量值, x_{\min} 表示变量的最小值, x_{\max} 表示变量的最大值。

2.2 确定延迟时间

由于锅炉在燃烧过程中各输入变量参与燃烧

反应的时间不同、传感器测量的延迟等^[22], 导致燃烧产生的 NO_x 排放量相对其余运行参数存在延迟时间。DCS 系统记录的同一时间标签下运行数据中的各相关参数之间未形成准确对应关系。若不考虑各输入变量与输出 NO_x 的延迟时间, 则无法准确建立 NO_x 排放量与输入变量之间准确的非线性动态映射关系。因此, 需要确定输入变量与输出变量之间的延迟时间, 根据计算结果及机理分析指导建模数据重构。

表 2 不同运行工况下各辅助参数与 NO_x 浓度之间的延迟时间

Tab. 2 Delay time between auxiliary parameters and NO_x concentration under different operating conditions

参数	延迟时间 (s)			参数	延迟时间 (s)		
	升	降	稳		升	降	稳
x1	10	0	0	x29	120	115	125
x2	145	110	75	x30	130	110	80
x3	95	110	80	x31	—	—	50
x4	20	10	50	x32	—	120	115
x5	85	85	90	x33	55	40	100
x6	0	0	0	x34	45	35	20
x7	210	200	230	x35	90	15	55
x8	115	115	110	x36	50	15	20
x9	215	260	235	x37	45	45	60
x10	180	175	200	x38	80	85	95
x11	110	250	170	x39	—	—	0
x12	230	280	260	x40	10	40	20
x13	185	210	285	x41	40	35	40
x14	190	170	80	x42	30	25	30
x15	165	150	100	x43	—	—	30
x16	200	190	220	x44	0	0	0
x17	205	160	175	x45	50	40	65
x18	200	175	245	x46	80	75	60
x19	295	240	265	x47	85	90	75
x20	270	290	250	x48	165	110	160
x21	205	140	100	x49	160	95	150
x22	290	235	240	x50	160	125	170
x23	5	5	35	x51	125	110	190
x24	270	260	295	x52	0	0	0
x25	70	45	115	x53	0	0	0
x26	105	60	200	x54	0	0	0
x27	—	—	0	x55	0	0	0
x28	125	120	240				

为了表征输入变量不同时延重构序列与 NO_x 排放量数据的非线性相关性, 采用 MIC 方法计算其非线性相关程度^[23], 具体计算如公式 (2) 和 (3) 所示:

$$MIC(x, y) = \max_{xy < B(n)} \frac{I(x, y)}{\log_2(\min(x, y))} \quad (2)$$

$$I(x, y) = \sum_{x \in X} \sum_{y \in Y} p(x, y) \log\left(\frac{p(x, y)}{p(x)p(y)}\right) \quad (3)$$

其中 $I(x, y)$ 为变量 x 和 y 之间的互信息值, $p(x)$ 、 $p(y)$ 为边缘概率分布, $p(x, y)$ 为联合概率分布, $B(n)$ 设置为数据量 n 的 0.6 次方左右。根据现场经验, 锅炉燃烧时各变量的延迟时间一般在 0—300s 内, 这些变量分别为总风量、氧量、排烟温度、总煤量、磨煤机出口风粉温度、二次风风量 (A—F)、磨煤机进口一次风温度 (A—F)、锅炉尾部烟道烟气氧量 (4 个) 等。为了计算每个变量的延迟时间, 在 0—300s 内, 以 5s 为间隔依次进行该变量的时间序列延迟重构, 即相对于 NO_x 排放量依次进行 5s 延迟, 并加入该变量的当前时刻, 共同与输出 NO_x 进行 MIC 值求解, 选择对应 MIC 值最大的一组重构序列, 求得每个变量的最佳的延迟时间。各工况的参数延迟时间如表 2 所示, 表 2 中空格部分表示该变量在当前工况未工作状态。从表 2 中可以看出, 同一个参数在不同工况下的延迟时间不相同。

2.3 特征选取

建立准确的预测模型首先要选取合理的特征变量, 减少输入变量的维数, 提高预测模型的精度。然而由于燃烧过程的反应复杂、运行工况多变, 仅通过机理分析无法完全获取影响 NO_x 排放量的特征集合, 因此通过特征选择的方法选取与输出 NO_x 相关性较大的变量, 剔除冗余变量。

Lasso 回归是一种以缩小变量集为思想的压缩估计方法, 通过构造一个惩罚函数, 可以将对输出变量影响不明显的输入变量的系数压缩至 0, 达到变量选择的目的。Lasso 回归是在损失函数后加入 L1 正则化, 损失函数如公式(4)所示:

$$J(\theta) = \frac{1}{2n} \sum_{i=1}^n (h_{\theta}(x^i) - y^i)^2 \quad (4)$$

加入 L1 正则化项后如公式(5)所示:

$$J(\theta) = \frac{1}{2n} \sum_{i=1}^n (h_{\theta}(x^i) - y^i)^2 + \lambda \sum_{j=1}^p |\theta_j| \quad (5)$$

Lasso 的复杂程度由惩罚项系数 λ 来控制, λ 越大对变量较多的模型的惩罚力度就越大, 从而获得一个变量较少的模型。但 Lasso 回归容易漏选一些对输入影响较大的变量和引入一些无关变量, 因此结合 ReliefF 回归算法进一步筛选特征变量。

ReliefF 算法基本内容为：从训练集中随机选择一个样本 R ，从 R 的同类样本集中取出 k 个近邻样本（near Hits），然后从其他不同类样本集中分别找出 k 个近邻样本，更新每个特征的权重，如公式(6)所示：

$$W(A) = W(A) - \sum_{j=1}^k \frac{diff(A, R, H_j)}{mk} + \sum_{C \notin class(R)} \frac{\frac{p(C)}{1 - p(class(R))} \sum_{j=1}^k diff(A, R, M_j(C))}{mk} \quad (6)$$

式中： $p(C)$ 为该类别的比例， $p(class(R))$ 为随机选取的某样本的类别的比例。 $diff(A_1, R_1, R_2)$ 表示样本 R_1 和 R_2 在特征 A 上的差， $M_j(C)$ 表示类 $C \notin class(R)$ 中第 j 个最近邻样本。

基于 Lasso 和 ReliefF 的自适应特征选择算法的主要流程如图 2 所示：

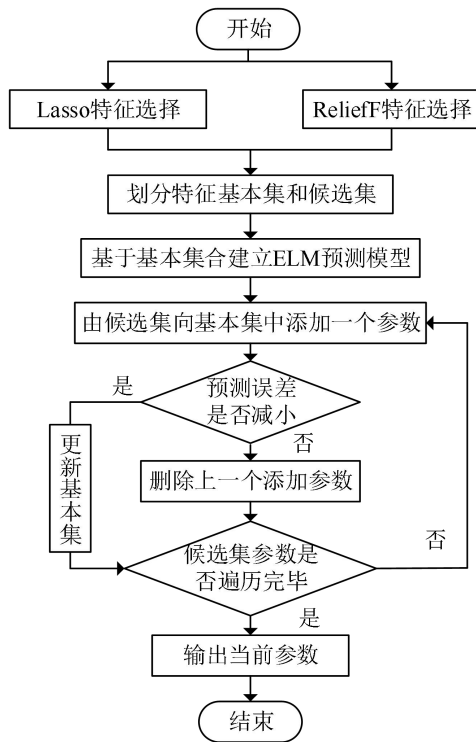


图 2 自适应特征选择流程图

Fig. 2 Flow chart of adaptive feature selection

Step1: 结合锅炉燃烧反应过程的机理分析，确定预测模型的初始候选特征集合，然后使用 Lasso 和 ReliefF 对全部候选特征进行重要性排序。

Step2: 将在两种算法排序中均排名前 50% 的公共变量作为特征基本集合，其余变量作为候选

集合；

Step3: 向基本集中依次添加候选集中的变量，进行建模预测，记录测试结果；

Step4: 判断更新基本集后的模型预测误差是否减小，如果减小，转步骤 5；否则，转步骤 6；

Step5: 保留该变量到基本集合中，更新基本集合，转步骤 7；

Step6: 删除上一个添加参数，转步骤 7；

Step7: 判断候选集参数是否遍历完毕，如果完毕，转步骤 8；否则，转步骤 3；

Step8: 输出最终更新完毕的特征基本集合。

使用上述方法针对 NOx 排放量进行特征选择，三种工况下的选择结果如图 3 所示：

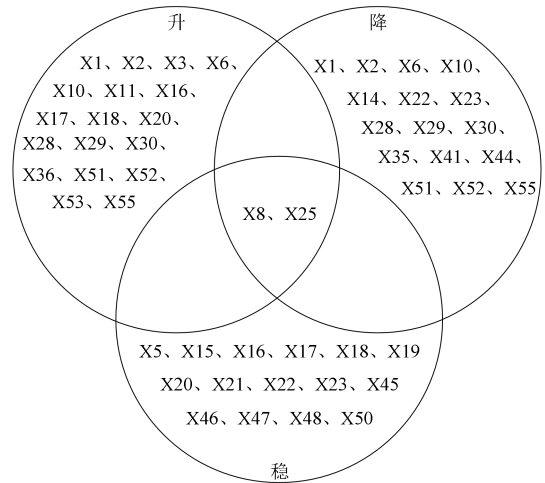


图 3 不同工况建模使用的变量

Fig. 3 variables used in modeling under different conditions

结合自适应特征选择结果及锅炉现场运行经验可得，不同运行工况下影响燃烧过程氮氧化物生成量的特征变量不同。现场锅炉实际运行中，影响锅炉运行的参数种类众多，其中相同类型输入变量存在较强相关性，例如每层四周的二次风量数据的变化趋势接近，因此在特征选择时对于同类的多个输入变量只选择其中部分变量。在机组稳态运行时，机组二次风配风方式及总煤量等主要影响氮氧化物生成量，因此特征选择算法将其选为输入特征变量；机组负荷上升或下降时，由于锅炉运行状态的改变，影响氮氧化物生成的变量的重要性发生改变，自适应特征选择算法的结果与稳态运行时的结果具有较大差异。因此，需要设计自适应特征选择算法挖掘锅炉不同运行工况下影响氮氧化物生成的不同特征集合。

2.4 基于 ELM 的预测模型

ELM^[24]的网络结构为单隐层前馈神经网络 (single-hidden-layer feedforward networks, SLFN), 采用一种新型的快速学习算法, 具有学习快速、良好的泛化性和参数设置简单等优点, 被广泛应用于各个领域。其网络结构如图 4 所示。设训练样本为 $\{(x_t, y_t)\}_{t=1}^N$, 其中样本总数为 N , 第 t 个样本输入向量为 $x_t = [x_{t1}, x_{t2}, \dots, x_{tm}]^T$, x_t 的维度为 n , 输出向量为 $y_t = [y_{t1}, y_{t2}, \dots, y_{tm}]^T$, y_t 的维度为 m , 则一个有 L 个隐层节点的 ELM 可以表示为:

$$\sum_{i=1}^L \beta_i f(\omega_i \cdot x_t + b_i) = y_t \quad (7)$$

其中, $f(x)$ 为激活函数, ω_{ij} 为输入权重, β_i 为

输出权重, b_i 是第 i 个隐层单元的偏置。 y 为网络输出向量。

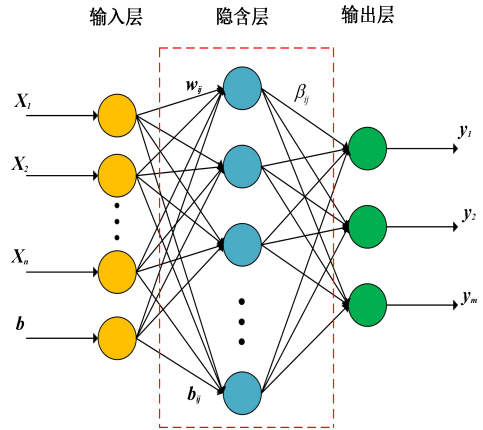


图 4 ELM 网络结构图

Fig. 4 ELM network structure diagram

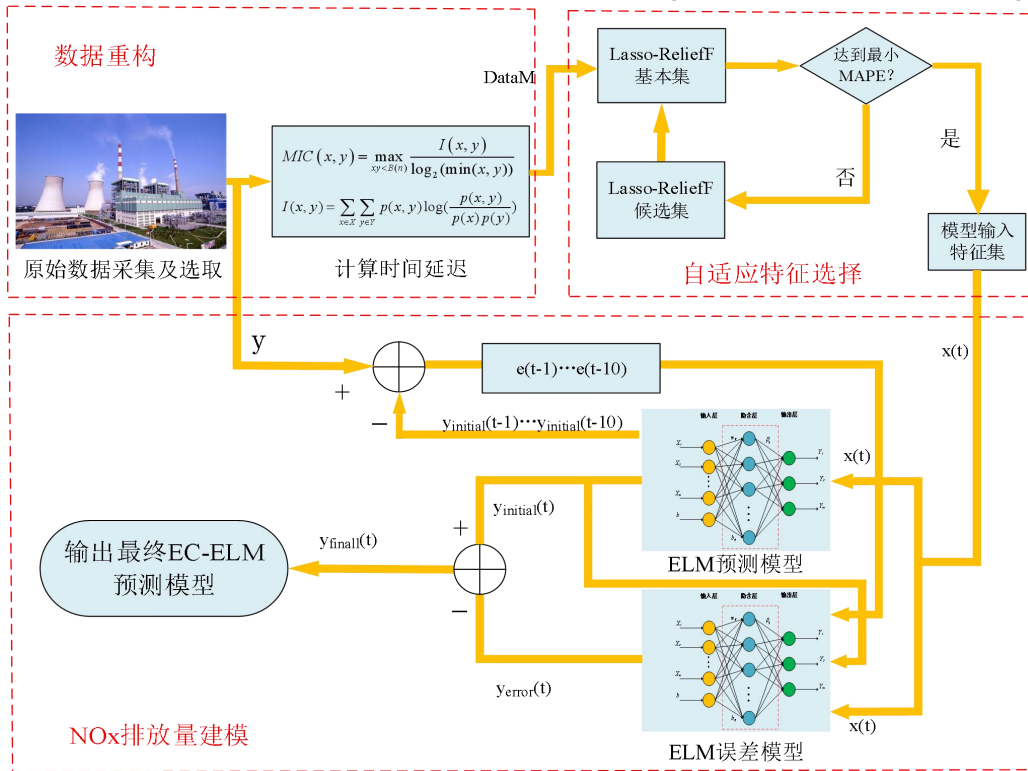


图 5 EC-ELM 模型结构图

Fig. 5 Diagram of EC-ELM mode

2.5 基于 ELM 的误差模型

由于模型在较长时间的预测过程中, 机组运行工况会随时间发生改变, 可能导致预测样本超出初始建模数据的分布范围, 因此产生预测精度降低的情况。为使预测模型具备长期高精度预测能力, 提出一种动态误差修正的预测方法。首先, 公式(8)和(9)定义了预测模型的误差。通过 ELM 预测模型将训练集的预测值与测量值作差, 得到

的结果为误差 $e(t)$, 将 $e(t)$ 作为误差模型的输出, 并将前 10 时刻的历史误差 $e(t-1) \dots e(t-10)$ 及原始模型的输入作为误差模型的输入变量, 经训练得到误差模型, 将误差模型的测试集输出与预测模型的测试集输出相加得到最终预测结果, 即为误差修正 ELM (error-corrected ELM, EC-ELM) 模型, EC-ELM 模型结构如图 5 所示。

$$e(t) = y(t) - y_{initial}(t) \quad (8)$$

$$y_{final}(t) = y_{initial}(t) + y_{error}(t) \quad (9)$$

式中: e_i 为预测误差, $y(t)$ 为 NOx 测量值, $y_{initial}(t)$ 为 NOx 初始预测值, $y_{error}(t)$ 为误差预测值, $y_{final}(t)$ 为 NOx 最终预测值。

3 实验结果及分析

使用平均绝对百分比误差(MAPE)、平均绝对误差(MAE)、归一化均方差(NMSE)、相关系数(R^2)四个评价指标,来作为模型预测结果的评价标准,其公式计算分别如(10)-(13)所示:

$$MAPE = \frac{1}{N} \left[\sum_{i=1}^N \frac{|Y_i - \hat{Y}_i|}{Y_i} \right] \times 100\% \quad (10)$$

$$MAE = \frac{1}{N} \sum_{i=1}^N |Y_i - \hat{Y}_i| \quad (11)$$

$$NMSE = \frac{1}{N} \sum_{i=1}^N \frac{(\hat{Y}_i - Y_i)^2}{Y_i \cdot \hat{Y}_i} \quad (12)$$

$$R^2 = 1 - \frac{\sum_i (\hat{Y}_i - Y_i)^2}{\sum_i (\bar{Y}_i - Y_i)^2} \quad (13)$$

其中 N 为测试集样本的个数, Y_i 为实际测量值,

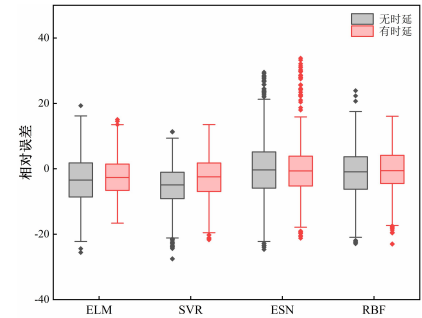
\hat{Y}_i 为模型预测值, \bar{Y}_i 为样本均值。

为了验证该方法的有效性,实验应该采取更多的负载变化及运行条件,从而使模型适应在变工况条件下可变操作。变工况数据集包含三个工况,即锅炉的增负荷、降负荷和稳态负荷。稳态负荷的数据集共 4700 组,前 3500 组作为训练数据集,后 1200 组作为测试数据集。增负荷和降负荷的数据集分别有 4500 组和 3900 组数据,增负荷数据前 3500 组作为训练数据集,后 1000 组作为测试数据集。降负荷数据前 3000 组作为训练数据,后 900 组作为测试数据集。将稳态负荷、降负荷、增负荷这三组不同工况下的数据集分别用 D1、D2、D3 来表示。本实验采用 ELM、RBF、ESN、RBF 作为对比模型,已对所有对比模型进行超参数的网格搜索调试,以确保最佳的性能,保证各模型之间的公平性。

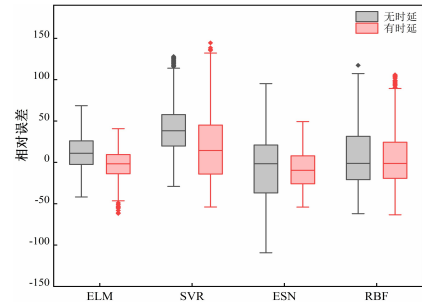
3.1 时间延迟对预测结果的影响

在燃烧过程中,由于锅炉燃烧系统具有较大的时延特性,延迟可能导致较低的预测精度。对

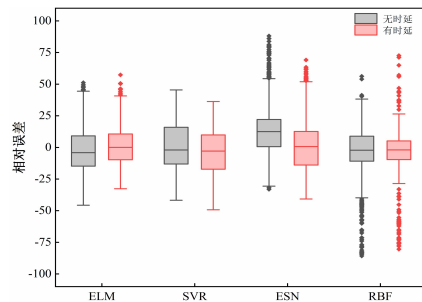
于时间延迟,时序的调整对改善模型的预测性能至关重要。将各工况特征选取后所选择的变量分别进行有时延和无时延的处理,使用不同模型分别对各工况在有时延和无时延处理后的数据集进行验证。表 3 为不同工况下两种处理方法的评价指标,以 D2 为例,其中各预测模型的 MAPE 较未进行时间延迟处理的预测结果分别降低了 20.9%、6.9%、37.2%、12.8%, R^2 分别提高了 8.2%、1.9%、61.7%、11%,MAE 和 NMSE 也都明显好于无时间延迟处理的预测结果。为了进一步看出特征选择对模型预测精度的影响,将各工况预测结果的误差通过箱型图进行展示,各工况误差结果的箱型图如图 6 所示。结果表明,经过时间延迟处理后的预测结果明显好于未进行时间延迟处理的预测结果。



(a) D1 数据集



(b) D2 数据集



(c) D3 数据集

图 6 时延前后误差箱型图

Fig. 6 Error box of prediction results before and after time delay

表 3 不同模型有无时间延迟实验结果对比

Tab. 3 Comparison of experimental results of different models with or without time delay

Different conditions	Evaluating indicator	ELM		SVR		ESN		RBF	
		是	否	是	否	是	否	是	否
D1	MAPE	2.60	3.16	2.73	3.07	2.68	3.44	2.47	2.86
	R ²	0.68	0.55	0.63	0.56	0.59	0.40	0.70	0.61
	MAE	5.31	6.47	5.53	6.24	5.53	7.04	5.08	5.86
	NMSE	0.0010	0.0015	0.0012	0.0015	0.0014	0.0021	0.0010	0.0013
D2	MAPE	3.78	4.88	8.45	9.97	4.94	7.86	6.70	7.69
	R ²	0.87	0.81	0.32	0.20	0.82	0.51	0.57	0.51
	MAE	15.29	19.44	34.62	41.19	19.36	30.46	27.35	30.73
	NMSE	0.0021	0.0038	0.0130	0.0156	0.0033	0.0105	0.0075	0.0098
D3	MAPE	5.06	6.99	7.25	7.74	7.41	8.91	4.82	6.54
	R ²	0.76	0.55	0.62	0.48	0.51	0.21	0.66	0.44
	MAE	11.11	15.04	15.07	16.57	15.80	18.26	10.73	14.52
	NMSE	0.0041	0.0081	0.0076	0.0086	0.0099	0.0241	0.0045	0.0074

3.2 特征选择对预测结果的影响

在 NO_x 预测中,主要是选择良好的输入变量集。输入变量必须从与 NO_x 产生的有关过程中选择。本节分析 Lasso-ReliefF 特征选取对 ELM 模型预测结果的影响。在都进行时间延迟处理后,分别对未进行特征选取和 Lasso-ReliefF 特征选取得到的特征集使用 ELM 模型对 NO_x 进行预测。通过 Lasso-ReliefF 的实验结果均好于未进行特征选取的实验结果。以数据集 D1 为例,ELM 在所有预测模型中表现出良好的预测性能,虽然 RBF 的预测模型在 D1 中的预测结果略优于 ELM,但在其他工况中其预测结果表现出较大的波动,尤其在 D3 中,虽然 RBF 预测模型的 MAPE 低于 ELM 预测模型,但 R² 却低于 ELM, R² 表明了预

测值与测量值的相关性以及拟合趋势,这说明 ELM 预测模型的预测结果与测量值之间相关性更大。ELM 预测模型在所有工况中均表现出稳定的预测性能。其中 ELM 预测模型的 MAPE 在 D1、D2、D3 中分别降低了 17.1%、56.9%和 35.7%,其他预测模型的预测结果在特征选择之后也好于特征选择之前,不同模型预测结果的评价指标如表 4 所示。

从表 4 中可以看出通过 Lasso-ReliefF 特征提取的方法可以获得更好的预测结果,这避免了单一的特征提取忽略一些重要的变量也避免了未进行特征提取而引入过多的冗余变量。如图 7(a)(b)(c)(d)可以清楚看到测量值和预测值的拟合情况。

表 4 不同模型有无特征选择实验结果对比

Tab. 4 Comparison of experimental results of different models with or without feature selection

Different conditions	Evaluating indicator	ELM		SVR		ESN		RBF	
		是	否	是	否	是	否	是	否
D1	MAPE	2.60	3.14	2.73	3.07	2.68	4.11	2.47	3.25
	R ²	0.68	0.53	0.63	0.58	0.59	0.18	0.70	0.48
	MAE	5.31	6.46	5.53	6.28	5.53	8.48	5.08	6.66
	NMSE	0.0010	0.0014	0.0012	0.0013	0.0014	0.0025	0.0010	0.0017
D2	MAPE	3.78	8.97	8.45	9.15	4.94	10.13	6.70	5.83
	R ²	0.87	0.37	0.32	0.25	0.82	0.16	0.57	0.73
	MAE	15.29	35.47	34.62	38.28	19.36	40.64	27.35	22.76
	NMSE	0.0021	0.0106	0.0130	0.0135	0.0033	0.0156	0.0075	0.0052
D3	MAPE	5.06	7.87	7.25	10.51	7.41	10.55	4.82	5.74
	R ²	0.76	0.48	0.62	0.16	0.51	0.19	0.66	0.65
	MAE	11.11	16.82	15.07	21.39	15.80	22.46	10.73	12.36
	NMSE	0.0041	0.0092	0.0076	0.0252	0.0099	0.0184	0.0045	0.0053

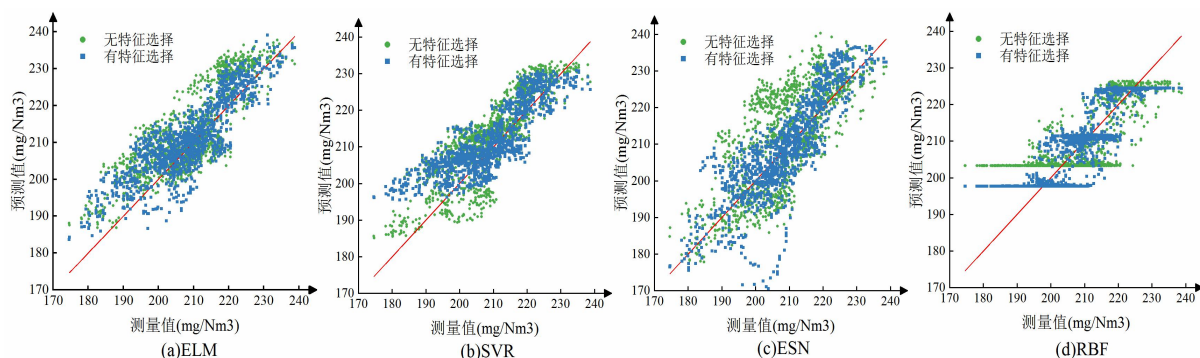


图 7 不同模型预测结果对比图 (有/无特征选择)

Fig. 7 Comparison of prediction results of different models with/without feature selection

3.3 误差修正对预测结果的影响

为了验证本文所提出的误差修正策略的有效性, 分别采用 ELM、ESN、RBF、SVR 这四种预测模型对有误差修正和没有误差修正的策略进行验证, 并比较其结果。通过对各预测模型产生的误差进行误差分析, 经过误差修正后的预测值, 精度有了明显的提高, 表明了误差修正策略的有效性。以数据集 D2 为例, 如表 5 所示, 其中 ELM 模型在所有模型中表现出最优的预测精度, 在误差修正后, ELM 预测模型的 MAPE 降低了 58.7%, R^2 提高了 11.8%, MAE 降低了 59.0%, NMSE 降低了 81%。为了更明显更直观的看出该策略的有

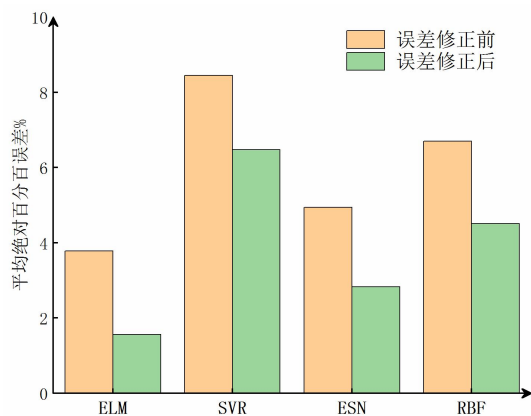


图 8 误差修正前后结果对比

Fig. 8 Comparison of results before and after error correction

效性, 图 8 比较了不同策略的平均绝对百分比误差, 从图 8 中可以看出 ELM 模型的误差修正后的结果优于没有误差修正的结果。其他预测模型在误差修正后所有评价指标也都有了明显的提高。这表明了误差修正这一策略的有效性, 该策略不止对 ELM 预测模型有效, 在其他预测模型中也一样适用。

表 5 误差修正前后模型误差比较

Tab. 5 Comparison of model errors before and after error correction

模型	方法	MAPE/%	R2	MAE	NMSE
ELM	修正前	3.78	0.87	15.29	0.0021
	修正后	1.56	0.98	6.27	0.0004
SVR	修正前	8.45	0.32	34.62	0.0130
	修正后	6.47	0.69	25.75	0.0064
ESN	修正前	4.94	0.82	19.36	0.0033
	修正后	2.83	0.93	11.29	0.0014
RBF	修正前	6.70	0.57	27.35	0.0075
	修正后	4.51	0.78	18.10	0.0038

3.4 不同模型的对比

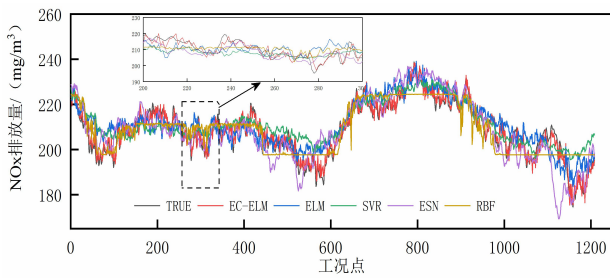
为了验证该模型的有效性, 将 EC-ELM 模型与 ELM、SVR、ESN、RBF 五种模型进行预测结果对比。图 9 是不同模型的真实值与预测值的对比曲线图, 实验结果表明 EC-ELM 模型能够更好的跟随实际值的变化, 为了可以更好的看出各个模型的预测精度, 从图中截取 200-300 这部分曲线用于更好的观察拟合程度, 可以看出 EC-ELM 模型的真实值与预测值较其他几种模型的拟合曲线最优, 这说明 EC-ELM 模型可以更有效的预测 NOx 排放浓度。

为了进一步展示出 EC-ELM 模型的预测性能, 图 10 比较了不同模型的绝对误差频数分布情况。从图 10 中可以看出, 在不同工况下, EC-ELM 模型的绝对误差大部分分布在 [0,5] 之间, 其频率随着绝对误差的升高而逐渐降低, 在高误差区域几乎没有分布, 其他几种模型也呈现和 EC-ELM 模型一样的趋势, 但 EC-ELM 模型下降的最快, 这表明了 EC-ELM 模型的预测精度远高于其他几种模型。从图 10(a)(b)(c) 中可以看出, EC-ELM 模型在不同工况下都可以表现出良好预测性能,

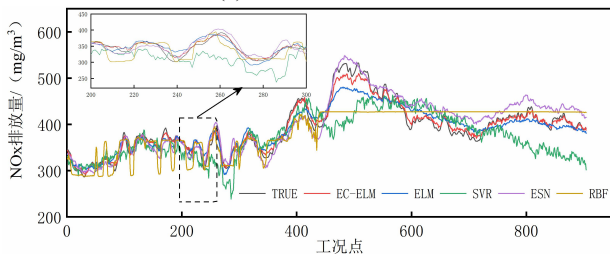
表 6 不同工况的预测结果对比

Tab. 6 Comparison of prediction results under different working conditions

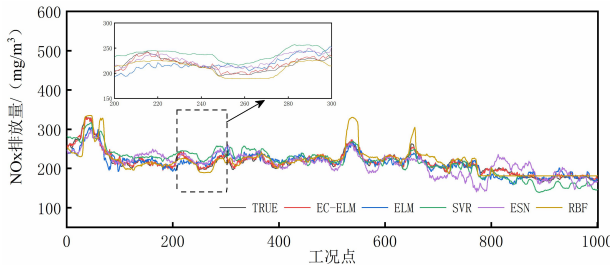
Data sets	Evaluating indicator	EC-ELM	ELM	SVR	ESN	RBF
D1	MAPE	1.03	2.60	2.73	2.68	2.47
	R ²	0.95	0.68	0.63	0.59	0.70
	MAE	2.14	5.31	5.53	5.53	5.08
D2	NMSE	0.0002	0.0010	0.0012	0.0014	0.0010
	MAPE	1.56	3.78	8.45	4.94	6.70
	R ²	0.98	0.87	0.32	0.82	0.57
D3	MAE	6.27	15.29	34.62	19.36	27.35
	NMSE	0.0004	0.0021	0.0130	0.0033	0.0075
	MAPE	1.87	5.07	7.25	7.41	4.82
	R ²	0.97	0.76	0.62	0.51	0.66
	MAE	3.98	11.11	15.07	15.80	10.73
	NMSE	0.0005	0.0041	0.0076	0.0099	0.0045



(a) D1 data sets



(b) D2 data sets



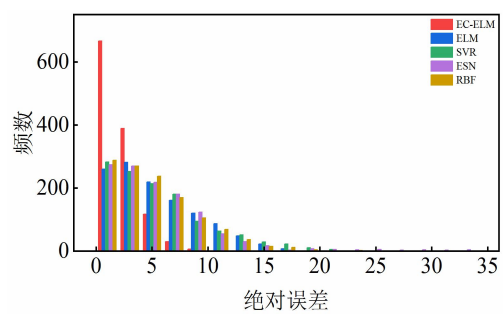
(c) D3 data sets

图 9 不同模型的预测结果

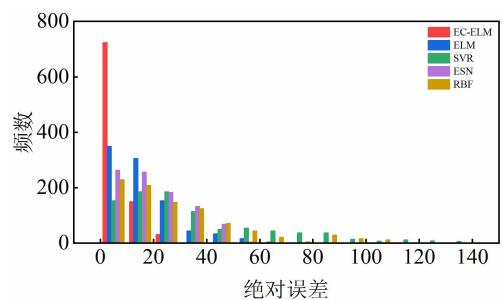
Fig. 9 Prediction results of different models

这也进一步体现了 EC-ELM 模型的稳定性。

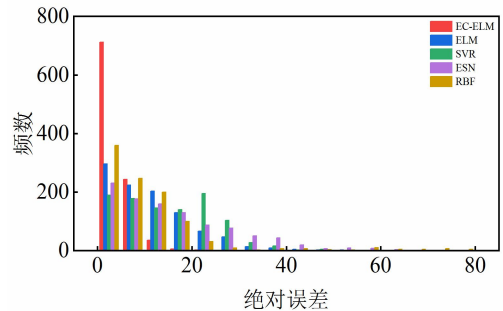
通过几种评价指标将几种模型进行对比, 表 6 是不同工况下五种模型的预测结果。在所有负



(a) D1 data sets



(b) D2 data sets



(c) D3 data sets

图 10 不同模型的绝对误差

Fig. 10 Absolute error of different models

荷条件下, EC-ELM 模型的 MAPE 明显好于其他四种模型, 并且在五种模型对比中, EC-ELM 模型的其他各项评价指标均优于其他三种模型。在数据集 D1 中, 所提出算法的 MAPE 与其他几种算法相比分别降低了 60.4%、62.5%、61.5%、58.3%。在数据集 D2 中, MAPE 分别降低了 58.7%、81.5%、68.4%、76.7%。在数据集 D3 中 MAPE 分别降低了 63.1%、74.2%、74.8%、61.2%。实验结果证明, EC-ELM 模型与其他几个模型相比较具有更好的预测性能。

3.5 讨论

通过实验结果分析得到以下讨论:

1) 锅炉是一个具有大时滞的燃烧系统, 由于传感器测量的延迟以及各项燃烧反应的时间, 各输入参数与输出之间存在一定的延迟, 通过计算各参数的时间延迟, 进行建模数据的重构, 提升建模数据之间的非线性相关性。实验结果表明该计算延迟时间方法的有效性;

2) Lasso-ReliefF 自适应特征选择方法结合了 Lasso 和 ReliefF 两种算法, 充分考虑各参数对于建模精度的影响, 避免漏选重要性高的输入参数, 同时减少冗余变量的输入, 因此, 提升了模型的预测精度;

3) 通过初始预测模型的误差建立动态误差校正模型, 对初始预测模型的预测值进行校正, 从而进一步降低 NO_x 排放量的预测误差。实验结果表明, 经过误差修正后, 模型预测的精度得到了提高;

4) 通过在不同工况下 EC-ELM 模型与其他几种模型比较讨论, 证明了 EC-ELM 模型在不同工况 NO_x 排放预测问题的精确性、稳定性和适用性。

4 结论

针对燃煤机组 NO_x 排放机理复杂且 CEMS 系统存在工作停滞的问题, 提出了一种基于数据驱动的燃煤机组 NO_x 排放量动态修正预测模型, 采用历史运行数据进行试验, 得到以下结论:

1) 基于最大信息系数 MIC 计算相关参数与 NO_x 排放量之间的延迟时间, 消除燃烧过程延迟特性对建模精度的影响, 提升了模型的预测精度;

2) 设计自适应特征选择策略, 确定对 NO_x 排放量影响较大的参数作为模型输入参数, 使预测模型在三种数据集上的预测精度均得到提升;

3) 通过动态误差修正策略, 对当前时刻 NO_x 排放量的初始预测值进行误差校正, 进一步提升预测精度。

所提方法可用于燃煤机组 NO_x 排放量的精准动态预测, 可作为机组燃烧过程优化调整及脱硝系统精准控制的基础。

参考文献

- [1] 杨国田, 张涛, 王英男, 等. 基于长短期记忆神经网络的火电厂 NO_x 排放预测模型[J]. 热力发电, 2018, 47(10): 12-17.
Yang Guotian, Zhang Tao, Wang Yingnan, et al. Prediction model for NO_x emissions from thermal power plants based on long-short-term memory neural network[J]. Thermal Power Generation, 2018, 47(10): 12-17(in Chinese).
- [2] Wang C L, Everson R M, Fieldsend J E, et al. Data-driven multi-objective optimisation of coal-fired boiler combustion systems[J]. Applied Energy, 2018, 229: 446-458.
- [3] 杨建国, 叶凌云, 赵敏, 等. 基于煤种掺烧模式的锅炉燃烧 NO_x 预测模型[J]. 动力工程学报, 2017, 37(11): 870-875.
Yang Jianguo, Ye Lingyun, Zhao Min, et al. NO_x prediction model for multi-coal admixing combustion in boiler[J]. Journal of Chinese Society of Power Engineering, 2017, 37(11): 870-875(in Chinese).
- [4] Chen H W, Liang Z W. Damper opening optimization and performance of a co-firing boiler in a 300MWe plant[J]. Applied Thermal Engineering, 2017, 123: 865-873.
- [5] 中华人民共和国环境保护部. 全面实施燃煤电厂超低排放和节能改造工作方案 [R/OL]. [2015-12-30]. <http://huanbao.bjx.com.cn/news/20151215/691861.shtml>.
- [6] Liu G F, Zhang Y, Shen D K, et al. Anticipatory NH₃ injection control for SCR system based on the prediction of the inlet NO_x concentration[J]. Journal of the Energy Institute, 2021, 94: 167-175.
- [7] Wang C L, Liu Y, Zheng S, et al. Optimizing combustion of coal fired boilers for reducing NO_x emission using gaussian process[J]. Energy, 2018, 153: 149-158.
- [8] 杨国田, 王英男, 李新利, 等. 基于互信息变量选择与 LSTM 的电站锅炉 NO_x 排放动态预测[J]. 华北电力大学学报, 2020, 47(3): 66-74.
Yang Guotian, Wang Yingnan, Li Xinli, et al. Dynamic prediction of boiler NO_x emission based on mutual information variable selection and LSTM[J]. Journal of

- North China Electric Power University, 2020, 47(3): 66-74(in Chinese).
- [9] Shi Y, Zhong W Q, Chen X, et al. Combustion optimization of ultra supercritical boiler based on artificial intelligence[J]. *Energy*, 2019, 170: 804-817.
- [10] Fan W, Si F Q, Ren S J, et al. Integration of continuous restricted boltzmann machine and SVR in NOx emissions prediction of a tangential firing boiler[J]. *Chemometrics and Intelligent Laboratory Systems*, 2019, 195: 103870-103881.
- [11] Yang G T, Wang Y N, Li X L. Prediction of the NOx emissions from thermal power plant using long-short term memory neural network[J]. *Energy*, 2020, 192: 116597-116609.
- [12] Tan P, He B, Zhang C, et al. Dynamic modeling of NOx emission in a 660MW coal-fired boiler with long short-term memory[J]. *Energy*, 2019, 176: 429-436.
- [13] 周昊, 丁芳, 黄燕, 等. 核心向量机的电站锅炉 NOx 排放特性大数据建模[J]. *中国电机工程学报*, 2016, 36(3): 717-722.
Zhou Hao, Ding Fang, Huang Yan, et al. Large-scale modeling of NOx emission property of power station boiler based on core vector machine[J]. *Proceedings of the CSEE*, 2016, 36(3): 717-722(in Chinese).
- [14] Tang Z H, Zhang Z J. The Multi-objective optimization of combustion system operations based on deep data-driven models[J]. *Energy*, 2019, 182: 37-47.
- [15] HUANG G B, ZHU Q Y, Siew C K. Extreme Learning Machine: A new learning scheme of feedforward neural networks[C]. *IEEE International Joint Conference on Neural Networks*. Budapest, Hungary, 2004: 985-990.
- [16] 闫来清, 董泽. 基于 k-近邻互信息和 WKOPLS 的 SCR 脱硝系统动态预测模型[J]. *中国电机工程学报*, 2019, 39(10): 2970-2980.
Yan Laiqing, Dong Ze. Dynamic prediction model of SCR denitrification system based on k-nearest neighbor mutual information and WKOPLS[J]. *Proceedings of the CSEE*, 2019, 39(10): 2970-2980(in Chinese).
- [17] 赵征, 袁洪, 宋选锋. 基于 MI-LSSVM 的 NOx 生成量动态软测量模型[J]. *自动化仪表*, 2018, 39(12): 31-35.
Zhao Zheng, Yuan Hong, Song Xuanfeng. Dynamic soft-sensing model for amount of NOx production based on MI-LSSVM[J]. *Process Automation Instrumentation*, 2018, 39(12): 31-35(in Chinese).
- [18] Wang F, Ma S X, Wang H, et al. Prediction of NOx emission for coal-fired boilers based on deep belief network[J]. *Control Engineering Practice*, 2018, 80: 26-35.
- [19] 吕游, 刘吉臻, 杨婷婷, 等. 基于 PLS 特征提取和 LS-SVM 结合的 NOx 排放特性建模[J]. *仪器仪表学报*, 2013, 34(11): 2418-2424.
Lv You, Liu Jizhen, Yang Tingting, et al. NOx emission characteristic modeling based on feature extraction using PLS and LS-SVM[J]. *Chinese Journal of Scientific Instrument*, 2013, 34(11): 2418-2424(in Chinese).
- [20] Yang T T, Ma K F, Lv Y, et al. Real-time dynamic prediction model of NOx emission of coal-fired boilers under variable load conditions[J]. *Fuel*, 2020, 274: 117811-117822.
- [21] Yan J, Ouyang T H. Advanced wind power prediction based on data-driven error correction[J]. *Energy Conversion and Management*, 2019, 180: 302-311.
- [22] Zhai Y J, Ding X D, Jin X Z, et al. Adaptive LSSVM based iterative prediction method for NOx concentration prediction in coal-fired power plant considering system delay[J]. *Applied Soft Computing Journal*, 2020, 89: 106070-106082.
- [23] Wang G Y, Liu S Y, Shuai S J, et al. NOx emissions prediction based on mutual information and back propagation neural network using correlation quantitative analysis[J]. *Energy*, 2020, 198: 117286-117295.
- [24] Tan P, Xia J, Zhang C, et al. Modeling and reduction of NOx emissions for a 700MW coal-fired boiler with the advance machine learning method[J]. *Energy*, 2016, 94: 672-679.

Data Driven based Dynamic Correction Prediction Model for NO_x Emission of Coal Fired Boiler

Tang Zhenhao^{1*}, Zhu Deyu¹, Li Yang²

(1. School of Automation Engineering, Northeast Electric Power University, 2. School of Electrical Engineering, Northeast Electric Power University)

KEY WORDS: NO_x emission; feature selection; extreme learning machine; error correction; data driven

CEMS measures the NO_x emission of the coal-fired unit. However, due to the harsh working environment, CEMS sometimes has a work stoppage situation. Therefore, establishing the NO_x prediction model has practical engineering significance. And the NO_x emission prediction model is the cornerstone of combustion optimization and ammonia injection volume control. In this paper, a data-driven-based dynamic correction prediction model for NO_x emission of coal-fired boiler is proposed.

The main structure of the proposed method is shown in Fig. 1. The modeling steps are as follows:

Step1: Obtain primary auxiliary variables through mechanism analysis.

Step2: Calculate the delay time between each auxiliary variable and the NO_x emission and reconstruct the modeling data.

Step3: Obtain the final input variables of the prediction model through the Lasso-Relieff adaptive feature selection algorithm.

Step4: Use ELM algorithm to establish NO_x prediction model and error model.

Step5: Establish the final EC-ELM prediction model.

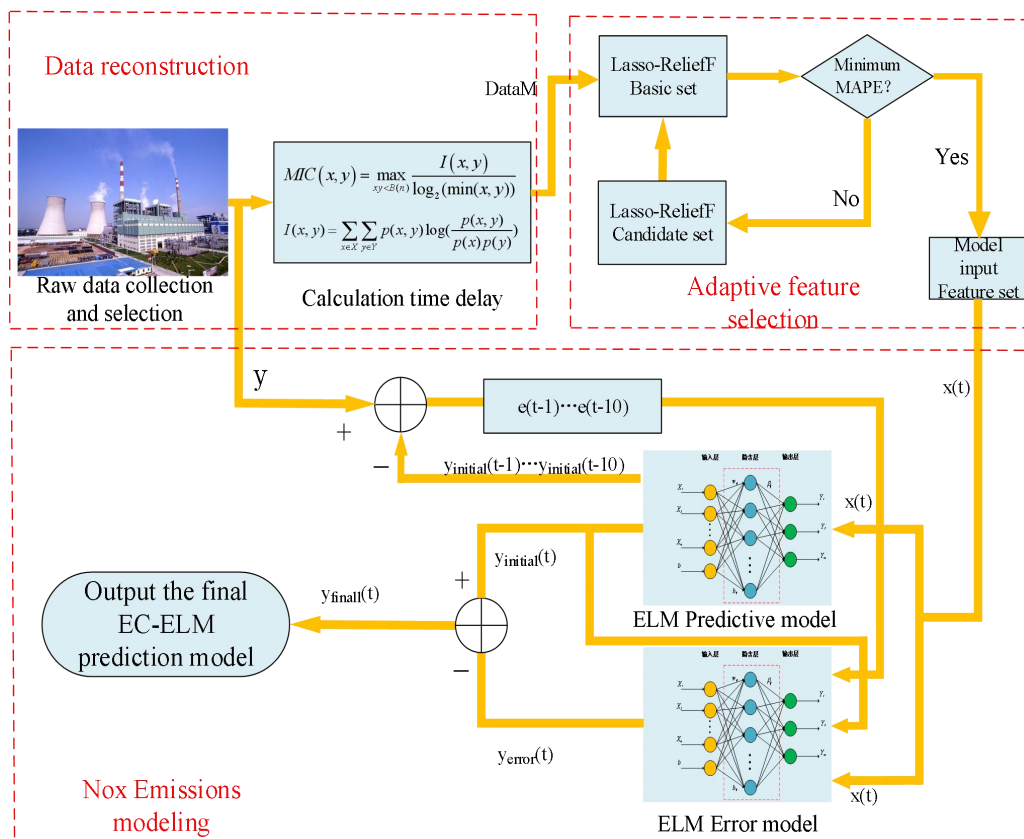


Fig. 1 structure diagram of EC-ELM model

The experimental results show that the method proposed in this paper can effectively predict NO_x emissions, and the predicted value can follow the changes of the measured value well under different

working conditions. The strategy is also applicable in different models.

In this abstract, Figure 1 is on page 6 of the original.